

NH^+

NH^{2+}

Tunt R.W., Pearse L.W.B.,
Smith E.C.W.

Nature 1935, 136, 32.

9

NH_3^+ ray

M.U.

NH₃⁺

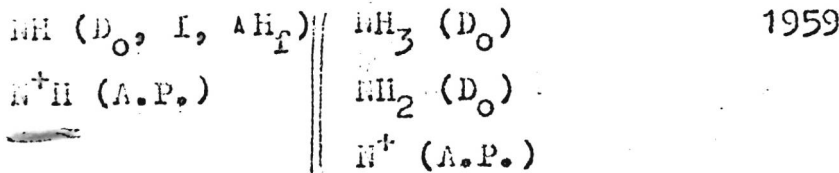
Feast m.w.

[125]

Astrophys. J., 1951, 114, 344

Guttmann
Plattform

III - 202



Reed R.I., Snedden W.

J. Chem. Soc., 1959, Dec., 4132-4133

Потенциал ионизации NH

РХ., 1960, № 14, 5590

9

ЕСТЬ Ф. №

3506-19

NH_3^+ , NH_2^+ , NH^+ , H^+ , NH_4^+ , N_2H_5^+ ,
1963

N_2H_4^+ , N_2H_3^+ , N_2H_2^+ , N_2H^+ (A.P., P)

Derwisch G.A.W., Galli A., Giardini-
Guidoni A., Volpi G.G.

J.Chem.Phys., 1963, 32(6),
1599-605

Ion-molecule reactions ...

10

Есть оригинал.

CA., 1963, 59, N 10,
10874d

W.H.T

Douglas A. E., Elliott G.A.,¹⁹⁶⁵

Canad. J. Phys., 1965, 43(3), 496.

III Cl

Seal K. E., Gaydon A. G.

Proc. Phys. Soc., 1966,
89, 459.

3.

NH₂az.

Mn.

NH+

NH

1907-11-18/14

Douglas fl. 8.

1907

Proc. Internat. Conf. Spectrosc.,
Bombay, 1907. V. I.
S. I., s.a., 81-84.

Глобус аммиево кислородный
и кислородонитрильный
вещества.

(акц. О2)

NH⁺

Omancek 348 | 1968

55055f New emission band systems of the NH⁺ molecule.

R. Colin and A. E. Douglas (Natl. Res. Council Canada, Ottawa). *Can. J. Phys.* 46(1), 61-73(1968)(Eng). Two new band systems of the NH⁺ mol. have been photographed at high dispersion and analyzed. One system consists of a single band at 4348.5 Å. which arises from a $^2\Delta - ^2\Pi$ transition and the second consists of three bands of a $^2\Sigma - ^2\Pi$ transition with the strongest (0-0) band lying at 4628.9 Å. A no. of the vibrational and rotational consts. of these states have been detd. From a study of the isotopic species $^{14}\text{NH}^+$, $^{15}\text{NH}^+$, and ^{14}ND , it has been established that the ground state of NH⁺ is the $^2\Pi$ state and that a $^4\Sigma^-$ state lies 354 cm.⁻¹ higher. The spectrum has made it possible to det. the wavelengths at which cometary spectra and interstellar absorption lines of NH⁺ are expected to fall and to predict that the transition between the two lowest levels, which may be of interest to radio astronomy, occurs at 13,500 Mc/sec.

RCCN

C.A. 1968 · 68.12

1968
RCCN - X

NH⁺спектр,
и. п.,
осн. состоя.

12 Д290. Новые системы эмиссионных полос молекулы NH⁺. Colin R. Douglas A. E. New emission band systems of the NH⁺ molecule. «Canad. J. Phys.», 1968, 46, № 1, 61—73 (англ.)

Получены при высоком разрешении и проанализированы две новые системы полос молекулы NH⁺. Найдено, что первая система состоит из полосы 4358,5 Å, которая обусловлена переходом $^2\Delta - ^2\Pi$, а вторая — из трех полос (переход $^2\Sigma - ^2\Pi$), из которых самая сильная 0—0-полоса расположена при 4628,9 Å. Определены колебательные и вращательные постоянные для этих состояний. Исследование изотопов N¹⁴H⁺, N¹⁵H⁺ и N¹⁴D показало, что основным состоянием NH⁺ является состояние $^2\Pi$ и что состояние $^4\Sigma$ находится на 354 см^{-1} выше. Анализ спектров позволяет получить ряд данных, представляющих интерес для химич. и астрофизич. исследований космич. объектов.

Э. К.

ф. 1968.

129

1968

129

27 (PISCO)

14 13 1968
XIII 1199

A.P. (NCO^+ , HCO^+ , $\underline{\text{NH}^+}$)

Royal Canadian C.C., Island J.H.D.,
Dorothy C.J.

Chem. Commun., 1963, 123, 1535-1536
(err.)

A spin-forbidden predissociation
in the mass spectrum of isocyanic
acid.

Pukar, 1968; 14595

O

Tlack

etc.

1969

NH⁺

Lefebvre B.H.,
Bessis N.

M.N.

Canad. J. Phys.,

1969, 44, N23, 2424

(CuCH) III

14 13 XII 1198 1869

HNO₃(g)

R.P. (NCO⁺, NH⁺)

Roseland C.G., Roseland J.H.D., Danzig C.J.
Internat. J. mass spectrom. and Ion
phys., 1969, 2, 46, 457-469 (accn).

Kinetic energy distributions of fragment
ions in the mass spectrum of isocy-

Birkbeck, 1970 | Energy & H₂O | ^{and accpt.} 6/14 ec 16
Oak. No 2875

1 Д173. Электронные состояния CH и NH^+ .
Liu H. P. D., Verhaegen G. Electronic states of CH
and NH^+ . «J. Chem. Phys.», 1970, 53, № 2, 735—745
(англ.).

Методом самосогласованного поля произведен неэмпирич. расчет молекулярных характеристик для ряда состояний CH и NH^+ при различных межатомных расстояниях. Энергии корреляции рассчитывались с использованием атомных данных (описан метод этого расчета). Хорошее согласие рассчитанных характеристик молекул (равновесные расстояния, колебательные частоты и др.) с экспериментом наблюдается во всех случаях, где имеются возможности для сравнения. Подробно обсуждается сходство и различие в поведении потенц. кривых CH и NH^+ . Предсказывается, что для CH едва ли возможно наблюдение переходов в квартетные состояния, в то время как для NH^+ должен существовать переход типа ${}^4\text{P} \rightarrow {}^4\Sigma^-$ в области около 1000 Å. Расчетная энергия диссоциации NH^+ равна 3,4 эв.

В. И. Барановский

Энергии
состояния

09. 1972. 19

+1

СИ (III) №

Си так же

Okabe H.

J. Chem. Phys., 1970,
53, 3507.

15

NH₂g

M. N.

NH^+

Bogau & F.
Kraud C.W.

1941

A.P.

J. Phys. Chem. 1941,
45, 210, 1522 - 36

(Cu. $UNCO^+$)_{II}

1977
Boyd R.J., Whitehead
M.A.

J. Chem. Soc. A, 1977,
3579.

7

NH⁺ ray

M. H.

Microt resonanc. \int CH, CH⁺, CH₂, CH₂⁺, CH₃, CH₃⁺;
cyclohex. Ei, Vi (CH₄; CH₃⁺, CH₅; CH₅⁺, NH, OH;
Cet. NO₂ NH⁺, NH₂; NH₂⁺; NH₃; NH₃⁺;
XI 2457 NH₄; NH₄⁺; O₂O, OH⁺, OH₂; FH⁺
OH₂⁺; OH₃; OH₃⁺; FH, FH⁺, FH₂)
Nathan W.A., Becke W.J., Curtis S.P.;
J. Amer. Chem. Soc., 1971, 93, N₂₄,

6377-87

b

PX72

1971
es.

Zin H.P.D., Verhaegen

Int. J. Quant. Chem.
Symp., 1971, 5, 103.

6.

NH₂⁺ ray

M. H.

NH^+

Hinkley R. K.;
et al.

1972

пачем.

"Mol. Phys.",

1972, 24, N 5, 1095-102.

"Конс. смес-орбита. взаимод.

● (евр. Beth; III)

NH⁺

December 2106 1973

Balcofe

q-p-908

Cade Paul E.
Huq Winifred.
" Atom • Data and Nucl.
Data Tables."

1973, 12 v5, 415-66

(au. LiH; III)
3ak. 247

NH⁺

*4-5659

1974.

Blustin R. H., Minnot J. P.,

J. Thom. Soc. Analog. Sci.,
1974., Part 2, 70, 05, 825-33.

M.H.; T;

(c.u. di₂⁺; ")

Li_2 , Li_2^- ; LiH , BeH^+ , Be_2^- , 1X 4703
 LiBe , CH , CH^+ , NH⁺, OH {^{Si}}, u.u.,
Blustin P.H.; Linnett J.W.,
J. Chem. Soc. Faraday Discuss.,
1974, Part 2, 70, N5, 837-52

10 . 6

OM. 1876.

Papers recd. 2021. Oct 1st. (CH_4 , CH_3 , CH_2 , CH , H_2F ,
 NH_4^+ , NH_3^+ , NH_2^+ , NH^+ , CH_3^+ , CH_2^+ , CH^+ ,
 OH_3^+ , OH_2^+ ; OH^+ , OH , H_2O , HF , FH_2^+)

Hariharan P.C., Popple J.A., XI 3791

Mol. Phys., 1974, 27, pt. 209-214 (cont.)

Accuracy of AH_n equilibrium geometries by single determinant molecular orbital orbital theory.: 17

Recd. 1974. 6. 20. 1621

140

140

NH⁺

Современное научно-исследование
1974

работе ИВТАИ, отчет №8

"Переходящие св. св.
Святого Георгия и их соедине-
ния!"

и.н.

PROCESSION et al. TX-5750 1975
DAGGER (CH, NH⁺, OH, FH⁺, CF, NO, O₂⁺,
BeH, BH⁺, BeF, BO, CN, CO⁺, N₂⁺, C₂, BH, NH,
OH⁺, C₂)

Abeyg P.W.

Mol. Phys., 1975, 30, NL, 579-596

() *

60

50728.1209

Ch, DB, TC

30731

NH^+

(A.P.)

1975

3214

Compernolle F. Mass spectrum and heat
of formation of isocyanic acid. Production
of $/HCO/^+$ from discrete electronic state
of molecular ion.

"Org. Mass Spectrom.", 1975, 10, N4, 289-294

(англ.)

0448 РИИ

394 395 0410

ВИНТИ

NH

1975

NH⁺

Pople J.A.

ephem
coppery.

" Mol. Phys" 1975, 29,
N 2, 599-611 (ann.)

(see H₂; II)



NH⁺

отмечена 4953 а) 1976

10 Д255. Система полос $C^2\Sigma^+ - X^2\Pi$ в излучении NH⁺. Krishnamurthy G., Saraswathy M. The emission band system $C^2\Sigma^+ - X^2\Pi$ of NH⁺. «Pramana. J. Phys.», 1976, 6, № 4, 235—243 (англ.)

Проведены спектроскопич. исследования с разрешением 2,5 Å/мм полос 2614, 2730, 2825, 2885, 2980 Å системы $C^2\Sigma^+ \rightarrow X^2\Pi$ молекулярного иона NH⁺, образующегося и возбуждаемого в слабо конденсированном индукционном разряде в потоке аммиака. Из анализа вращательной структуры полос получены уточненные величины колебательных и вращательных по-

9556

ВРД-XIII-11

БД-1

п. 1976

№10.

стационарных состояния $C^2\Sigma^+$. Структура вращательных подуровней Π^+ и Π^- колебательных уровней $v=0,1$ основного состояния $X^2\Pi$ аппроксимирована на основе выражения Джеймса с использованием двух наборов вращательных постоянных. Детальный анализ состояния $X^2\Pi$ показал наличие сильного возмущения c -компонент Π^+ , Π^- -подуровней уровня $v=0$ вследствие перемешивания с соответствующими подуровнями уровня $v=0$ состояния $a^4\Sigma^+$. Для уровня $v=1(X^2\Pi)$ взаимодействие с уровнем $v=1(a^4\Sigma^-)$ настолько сильно, что подуровни Π^+ , Π^- испытывают значительное отклонение от положений полученных экстраполированием на основе констант уровня $v=0$. Библ. 4.

С. Л.

ommited 4953 a) 1976

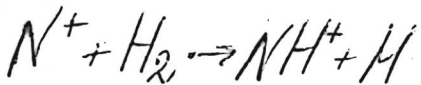
NH⁺

(iii n.)

185: 11992f The emission band system $C^2\Sigma^+ - X^2\Pi$ of NH⁺. Krishnamurthy, G.; Saraswathy, M. (Spectrosc. Div., Bhabha At. Res. Cent., Bombay, India). *Pramana* 1976, 6(4), 235-43 (Eng). Five red degraded bands belonging to the $C^2\Sigma^+ - X^2\Pi$ system of NH⁺ were excited in a mild condensed discharge through flowing NH₃ and were photographed on a 3.4-m Ebert grating spectrograph at a dispersion of 2.5 Å/mm. Rotational analyses of these bands yielded the vibrational and rotational consts. accurately. The rotational energy levels of the Π^+ and Π^- levels of the $v = 0$ and 1 levels of the ground state, $X^2\Pi$, were fitted in the James expression by using 2 sets of rotational consts. The perturbations obsd. in the $X^2\Pi$ state caused by the $a^4\Sigma^-$ state were examd. in greater detail.

89-XII-3456

C.A.1976. 85 N2



[Ornl 5345] 1977

(no. 111. no. 111.
p-1977.)

Gillies M.A., et al.

Faraday Discuss. Chem.
Soc. 1977, N^o 62, 67-76

○ / Discuss. 130-68
or [5346]

J' Ht

статья 10294

1977

9 Б7. Неэмпирические потенциальные кривые для валентных состояний иона NH^+ . Guest M. F., Hirst D. M. Ab initio potential curves for the valence states of the NH^+ ion. «Mol. Phys.», 1977, 34, № 6, 1611—1621 (англ.)

Методом конфигурац. взаимодействия (КВ) рассчитаны потенциальные кривые состояний ${}^2\Pi$, ${}^4\Sigma^-$, ${}^4\Pi$, ${}^2\Sigma^+$, ${}^2\Delta$ и ${}^2\Sigma^-$ молек. иона NH^+ , соотв.-щие диссоциац. пределам $\text{N}({}^4S) + \text{H}^+({}^1S)$, $\text{N}^+({}^3P) + \text{H}({}^2S)$, $\text{N}({}^2D) + \text{H}^+({}^1S)$ и $\text{N}^+({}^1D) + \text{H}({}^2S)$. Использованы базисные наборы сгруппированных гауссовых функций s -, p - и d -типа. Для построения многоконфигурац. волновых функций учтены все одно- и двукратно возбужденные конфигурации по отношению к выбранным основным конфигурациям, разным для разных электронных состояний. Рассмотрено несколько вариантов выбора основных конфигураций. При проведении вычислений общее число принимаемых во внимание конфигураций составило от 1000 до 3400. Показано, что при таком подходе результаты для энергии мало зависят от базиса и от числа неосновных конфигураций, входящих в волно-

М.И. № 0

д. 1978
№ 9

XIII - 4201

ую функцию с малыми весами. Особенностью рассматриваемой системы является почти вырождение состояний $X^2\Pi$ и $a^4\Sigma^-$ в области равновесия. В рамках приближения Хартри — Фока состояние $a^4\Sigma^-$ оказывается на 0,036 ат. ед. ниже экспериментально идентифицированного как основное состояние $X^2\Pi$. При учете КВ разница в энергиях обоих состояний уменьшается на порядок, но относительное расположение уровней энергии остается прежним. Это расположение не меняется и при интенсивном варьировании орбитального базиса. С помощью процедуры интерполяции рассчитанных значений энергии кубич. сплайнами определены равновесные межъядерные расстояния и энергии диссоциации для всех рассмотренных состояний. В отличие от предыдущих расчетов не обнаружены локальные максимумы на потенциальных кривых состояний $X^2\Pi$ и $A^2\Sigma^-$.

А. В. Немухин

ный
ои

NH⁺

отмеч 10294 1977

4Д105. Неэмпирические потенциальные кривые для валентных состояний иона NH⁺. Guest Martyn F., Hirst David M. Ab initio potential curves for the valence states of the NH⁺ ion. «Mol. Phys.», 1977, 34, № 6, 1611—1621 (англ.)

(Есс. № 9 одобрено)

XIII - 4201

9. IV. 1978

Неэмпирическим методом ССП МО ЛКАО в базисе гауссовских ф-ций $9s5p1d/4s1p$, сгруппированном в $4s2p1d/3s1p$, рассчитаны потенц. кривые низколежащих состояний $^2\Pi$, $^4\Sigma^-$, $^4\Pi$, $^2\Sigma^+$, $^2\Delta$ и $^2\Sigma^-$ иона NH^+ для межъядерных расстояний 1,5—20 ат. ед. Использовано 5 вариантов учета взаимодействия одно- и двухкратновозбужденных конфигураций (в наибольшем варианте 3400 конфигураций) и подробно обсуждено их влияние на результаты расчетов. Равновесные длины связей (в Å) и энергии диссоциации (в эВ) найдены равными (в скобках имеющиеся эксперим. данные): $X^2\Pi$ 1,069 (1,081), 3,57 ($3,7 \pm 0,4$); $a^4\Sigma^-$ 1,093 (1,105), 3,68; $A^2\Sigma^-$ 1,265 (1,271), 1,51; $B^2\Delta$ 1,138 (1,152), 3,42; $C^2\Sigma^+$ 1,159 (1,180), 1,75. Энергии относятся к диссоциации на $\text{N}({}^4S) + \text{H}^+({}^1S)$. Состояния $^4\Pi$, $^2{}^4\Sigma^-$ и $^2{}^2\Pi$ найдены отталкивательными. В отличие от данных других авторов на потенц. кривых для состояний $X^2\Pi$ и $A^2\Sigma^-$ максимумы не обнаружены.

В. Л. Лебедев

NH⁺

ommence 102945

1977

IC. week. paper XIII - 4201

89: 31023b Ab initio potential curves for the valence states of the imidogen(1+). Guest, Martyn F.; Hirst, David M. (Atlas Comput. Div., Rutherford Lab., Dideot, Engl.). Mol. Phys. 1977, 34(6), 1611-21 (Eng). Calcd. CI potential curves are reported for the low-lying $^2\Pi$, $^4\Sigma^-$, $^4\Pi$, $^2\Sigma^+$, $^2\Delta$, and $^2\Sigma^+$ states of NH⁺. Equil. distances agree with exptl. r_0 values. Potential max. are not found in the curves for the $X^2\Pi$ and $A^2\Sigma^-$ states. The $^4\Pi$, $^2^4\Sigma^-$, and $^2^2\Pi$ states are repulsive.

Sydney!

C.A. 1978, 89, N.Y.

NH⁺

ommun 544 f

1978

Huntress W.T., Jr.

Astrophys. J. Suppl. Ser.,
1977, 33, (4), 495-514.

(A_{H⁺}, g)

(recr. H⁺; III)

NH⁺

Maerk T.D. et al 1977

J. Chem. Phys., 1977, 67 (8),
3795-802

I; A.P.



(acq. NH₃⁺) ii

IX-5525 ~~RECORDED~~

1977

LiH^+ , HCl^+ , BH^+ , NH^+ , AlH^+ , PH^+
(Do, et al.)

4-17790

Rosmus P., Meyer W.,

J. Chem. Phys. 1977, 66(1), 13-19 ^{IE}

Ionization energies of the first and
second row diatomic hydrides and

C.A. 1977, 86, N16, 111415)

10 \odot

NH⁺

(Om. 27412)

1977

Tarafdar S. P.,

J. Quant. Spectrosc. Ra-
diat. Transfer. 1977,
17 (4), 537-42.



список 6722

1978

NH⁺
ND⁺

М.Н.

3 Б76. А-удвоение в молекулах $^{14}\text{NH}^+$, $^{15}\text{NH}^+$ и $^{14}\text{ND}^+$. Wilson I. D. L. A-type doubling in the molecules $^{14}\text{NH}^+$, $^{15}\text{NH}^+$, and $^{14}\text{ND}^+$. «Mol. Phys.», 1978, 36, № 2, 597—610 (англ.)

Проведены неэмпирич. расчеты величин расщеплений, обусловленных А-удвоением в состояниях $\text{X}^2\Pi$ молекул $^{14}\text{NH}^+$, $^{15}\text{NH}^+$, $^{14}\text{ND}^+$ для вращательных уровней с квантовыми числами J от $1/2$ до $7/2$. Показано, что для правильного воспроизведения величин расщеплений необходимо рассмотреть взаимодействие состояния $\text{X}^2\Pi$ с состояниями $a^4\Sigma^-$, $A^2\Sigma^-$ и $C^2\Sigma^-$. Взаимодействие с состоянием $a^4\Sigma^-$ учтено с помощью точной диагонализации гамильтониана, а влияние остальных состояний оценено во втором порядке теории возмущений. Полученные результаты полностью согласуются с эксперим. данными для $^{14}\text{NH}^+$. Указано, что в случае $^{14}\text{ND}^+$ рассчитанные величины расщеплений более надежны, чем измеренные экспериментально.

Б. И. Жилинский

2.1949 №3



2 Д194. Удвоение А-типа в молекулах $^{14}NH^+$, $^{15}NH^+$ и $^{14}ND^+$. Wilson I. D. L., A-type doubling in the molecules $^{14}NH^+$, $^{15}NH^+$, and $^{14}ND^+$. «Mol. Phys.», 1978, № 2, 597—610 (англ.)

Теоретически рассмотрено А-удвоение вращательных уровней электронного состояния $^2\Pi$ двухатомной молекулы с учетом магн. взаимодействий состояний $^2\Pi$ с состояниями $^2\Sigma$ и $^4\Sigma$ (известная теория Ван-Флека основана на учете взаимодействия между $^2\Pi$ и $^2\Sigma$). Составлена матрица электронно-вращательной энергии для состояния $^2\Pi$ с учетом недиагональных матричных элементов спин-орбитального и спин-спинового взаимодействий. Для вычисления орбитальных матричных элементов использован неэмпирич. метод ССП МО ЛКАО в базисе слэтеровых орбиталей. Выполнен расчет величины А-удвоения для вращательных уровней с $J=1(2-7)2$ основного электронного состояния $X^2\Pi$ молекулярных ионов $^{14}NH^+$, $^{15}NH^+$ и $^{14}ND^+$. Получено хорошее согласие с эксперим. данными. Отмечено, что вклад взаимодействия $X^2\Pi$ с $^4\Sigma^-$ в А-удвоение для некоторых уровней составляет почти половину полной величины А-удвоения.

М. Р. Алиев

Экспер.
Составлен.

Р
1979, 2

1978

аммиак 6722

аммиак 6722

NH^+

observed 6722

1978

ND^+

Lygboeij.

90: 159319r Λ -type doubling in the molecules imidogen(1+) (nitrogen-14), imidogen(1+) (nitrogen-15), and deuterioimidogen(1+) (nitrogen-14). Wilson, I. D. L. (Phys. Chem. Lab., Univ. Oxford, Oxford, Engl.). *Mol. Phys.* 1978, 36(2), 597-610 (Eng). The Λ -type doubling in the $X^2\Pi$ states of $^{14}NH^+$, $^{15}NH^+$, and $^{14}ND^+$ for rotational levels with $J = 1/2^-$, $3/2^-$ was studied. Van Vleck's theory was extended to include the effect of interactions between the $X^2\Pi$ state and a low-lying $^4\Sigma^-$ state. Interactions between the $X^2\Pi$ state and the $a^4\Sigma^-$ state, and the $A^2\Sigma^-$ and $C^2\Sigma^+$ states were treated using an exact matrix diagonalization and 2nd-order perturbation theory, resp. The results agree with the exptl. values of R. Colin and A. E. Douglas (1968). The $X^2\Pi-a^4\Sigma^-$ interaction contributes significantly to the calcd. values of the Λ -type doubling.

C.A. 1979, 99, 120

NH⁺

1979

Richards G.

Chem. Brit., 1979, 15, n^o 2,
68-71.

kb. uex
paerem

(ens. OH; III)

+ NH

1980

уилк.

Theor. chim. acta, 1980,
57, N2, 107-30

(3)

cell. H₂-II

NH₂⁺

Connally 99441

1980

Trivedi H.P., et al

pacet
u.n.

J. Chem. Phys., 1980,
72, N5, 3438-39,

● (see BeF) III

NH^+

1981

Gemmell D. S.

Nucl. Instrum. and
Meth., 1981, 191, N1-3,
425 - 431.

($c_{ee} H_2^+$; $\bar{\nu}$)

NH⁺

• 1981

Gemmell D. S.

zou; Z̄e

IEEE Trans Nucl. Sci.,
1981, 28, N2, 1168 - 1173

(cu. H₂⁺;))

NH⁺

1981

Sun Hosung S.U.L.G.,
et al.

y

J. Chem. Phys., 1981, 74,
N/2, 6842-6848.

(em. CH; II)

NH⁺

ИТиш 14130 1982

21 Б177. Сверхтонкая структура в электронных спектрах NH⁺, PH⁺ и SH⁺, разрешенная методом спектроскопии лазерно-ионных пучков. Edwards C. P., Maclean C. S., Sarre P. J. Hyperfine structure in electronic spectra of NH⁺, PH⁺, and SH⁺ resolved by laser-ion beam spectroscopy. «J. Chem. Phys.», 1982, 76, № 7, 3829—3831 (англ.)

М.Л.

Методом лазерно-ионных пучков впервые разрешена ядерная СТС в электронных спектрах NH⁺, PH⁺ и SH⁺. Пучок быстрых ионов, образующихся при электронном ударе из молекул NH₃, PH₃ и H₂S, пропускали коаксиально с излучением Kr⁺-лазера ($\lambda \sim 400$ нм). Совпадение с различными отдельными лазерными линиями достигалось путем допплеровской настройки вращательных линий. Регистрировались дочерние ионы N⁺, P⁺ и S⁺, образующиеся в результате предиссоциации верхних электронно-возбужденных состояний. СТС наблюдалась в виде удвоения на половине из свыше 50 вращатель-

10

(f2)

X. 1982, 19, N2j

ных линий перехода $A^3\Pi - X^3\Sigma$ -SH⁺ (главным образом полоса 1—3, $b_F = -85$ МГц, $c = +12$ МГц для состояния ${}^3\Sigma^-$, $b_F = +400$ МГц для состояния ${}^3\Pi$) и ряде вращательных линий в спектре NH⁺ и в виде расщепления на квартеты (${}^{31}P$ и 1H) на ряде вращательных линий перехода $A^2\Delta - X^2\Pi$ PH⁺.
В. М. Ковба

без

NH⁺

L0MMUKEK 14130 / 1982

96: 171526n Hyperfine structure in electronic spectra of NH⁺, PH⁺, and SH⁺ resolved by laser-ion beam spectroscopy. Edwards, C. P.; Maclean, C. S.; Sarre, P. J. (Dep. Chem., Univ. Nottingham, University Park/Nottingham, UK NG7 2RD). *J. Chem. Phys.* : 1982, 76(7), 3829-31 (Eng). Nuclear hyperfine structure was obsd. for the 1st time in electronic spectra of NH⁺, PH⁺, and SH⁺ by using coaxial laser and fast ion beams, and by Doppler-tuning rotational lines into resonance with various single frequency Kr ion laser lines near 400 nm. In each of these ions the upper electronic state involved in the transition is weakly predissocd. Transitions were detected by monitoring the appearance of the daughter ions N⁺, P⁺, and S⁺ which arose from the predissocn. Over 50 rotational lines in the $\Delta^3\Pi \leftarrow X^3\Sigma$ -transition in SH⁺ were recorded, 1/3 of which were assigned to the 1-3 band, and ~1/2 of them exhibit hyperfine doubling due to the proton nuclear spin. A no. of rotational lines in the $A^2\Delta \leftarrow X^2\Pi$ transition of PH⁺ were obsd.



(f2)

PH⁺, SH⁺



C. A. 1982, 96, n20

NH^+

1982

Singh P.D., De Almeida
A.A.

qaktopa

Q-R

J. Quant. Spectrosc.
and Radiat. Transfer, 1982
479. ($\text{C}_2\text{H}_5\text{OH}^+ ; \text{III}$)

NH₃

Dmuck 13917,

1982

Singh P.D., De Almeida
A.A.

Факторы
драмка-
Кондона

J. Quant. Spectrosc. and
Radiat. Transfer. 1982,
27, N4, 471-479.

NH^+

1983

Bruna Pablo J., Hirsch Gerhard, et al.

$\gamma_{\text{v.v.}}$, E_i ; Mol. Tors: Geom. and Electron. Struct. Proc. NATO Adv. Study Inst., Isle of Kos, Sept. 30 Okt. 10, 1980. New York; London, 1983, 309-354.
(c.u. SH_2^+ ; III)

NH^+ [Om. 16886] 1983

Farnell L., Pople J.A.,
ab initio et al.

pacieis J. Phys. Chem., 1983,
87, N1, 79-82.

NH^{2+}

1983

Pope Susan A., Hil-
lier Tom H., et al.

Empetrum myrsinifolium

Chem. Phys. Lett.,
1983, 95 (3), 247-249

(act. OH^{2+} ; III)

NH⁺

dm. 18/15 1983

8 Б1015. Расчет колебательно-вращательного спектра NH⁺. Calculation of the rotation-vibration spectrum of NH⁺. Farnell Leslie, Ogilvie John F. «J. Mol. Spectrosc.», 1983, 101, № 1, 104—132 (англ.)

По теории возмущений Мёллера — Плессета 3-го порядка в большом базисе рассчитаны потенциальные кривые состояний $X^2\Pi$ и $a^4\Sigma$ молек. иона NH⁺. В кач-ве нулевого приближения использованы волновые ф-ции неограниченного метода Хартри — Фока. Для обоих состояний в приближении Хартри — Фока рассчитаны ф-ции дипольного момента. Рассчитана колебательно-вращательная структура спектра рассматриваемых состояний с учетом их сильного спин-орбитального взаимодействия. Полученные волновые ф-ции использованы для вычисления моментов колебательно-вращательных переходов. Проведено отнесение большого числа ранее не отнесенных линий. Полученные результаты хорошо согласуются с эксперим. данными.

В. Б. Павлов-Веревкин

x. 1984, 19, n8

NH^+

Om. 18115

1983

4 Д58. Расчет вращательно-колебательного спектра NH^+ . Calculation of the rotation — vibration spectrum of NH^+ . Farnell Leslie, Ogilvie John F. «J. Mol. Spectrosc.», 1983, 101, № 1, 104—132 (англ.)

По методу ССП и с волн. ф-циями неограниченного базиса Хартри — Фока с включением электронной корреляции рассчитаны и построены кривые потенц. энергии иона NH^+ в состояниях $X^2\Pi$ и $a^4\Sigma^-$ при значениях межатомного расстояния R от $0,7 \cdot 10^{-10}$ м до ∞ . Обе кривые аппроксимируются полиномами, для которых найдены численные коэф. Во втором методе достигнуто лучшее совпадение с эксперим. значениями R_e и разностей потенц. энергии в состояниях $^2\Pi$ и $a^4\Sigma^-$ при $R=R_e$ и $R=\infty$. Получены кривые зависимости от R дипольного момента с началом в центре масс и с положит. полюсом на атоме водорода. Численные значения энергии в состояниях $X^2\Pi$ и $a^4\Sigma^-$ ионов NH^+ , ND^+ , $^{15}NH^+$ и $^{15}ND^+$ определены при значениях коле-

расчёта
вращательно-
колебательного
спектра

сб. 1984, 18, № 4

бательного квантового числа $v=0, 1, 2$. При значениях вращательного квантового числа $J=1/2 \div 11/2$ вычислены энергии вращательных уровней в четных и нечетных состояниях $^2\Pi_{1/2}$, $^2\Pi_{3/2}$ и в состояниях $^4\Sigma_{1/2}^-$ и $^4\Sigma_{3/2}$. Дано отнесение эксперим. частот к колебательно-вращательным переходам. Вычислены энергии и дипольные моменты для чисто вращательных переходов в основном колебательном состоянии и для P -, Q -, R -ветвей переходов $v=0 \rightarrow v=1$. Построены диаграммы уровней энергии с указанием частот переходов между ними.

М. А. Ковнер



NH⁺

Om. 18115

1983

99; 148625x Calculation of the rotation-vibration spectrum of aminyllumyl ion. Farnell, Leslie; Ogilvie, John F. (Res. Sch. Chem., Australian Natl. Univ., Canberra, 2601 Australia). *J. Mol. Spectrosc.* 1983, 101(1), 104-32 (Eng). Ab initio MO calcns. were used to compute potential energy and dipole moment functions for the $X^2\Pi$ and $a^4\Sigma^-$ states of NH⁺. These functions were used to compute rotational-vibrational energy levels, including the interaction between the 2 states. Transition moments were calcd. for transitions between these levels, using either the results of numerical diagonalization of the Hamiltonian, or more approx. by fitting analytic functions. Good agreement with exptl. data is found, and the results were also used to interpret previously unassigned spectral lines.

phomenus. kru
bte u cnekip,
ab initio
pacrem)

C.A. 1983, 99, n18

NH⁺

1984

10 Д285. Спектроскопия и динамика хемилюминесценции, сопровождающей реакции $N^+(^1D) + H_2 \rightarrow NH^+(B^2\Delta)$ и $N^+(^1D) + D_2 \rightarrow ND^+(B^2\Delta) + D$. Spectroscopy and dynamics of the chemiluminescent reactions $N^+(^1D) + H_2 \rightarrow NH^+(B^2\Delta) + H$ and $N^+(^1D) + D_2 \rightarrow ND^+(B^2\Delta) + D$. Kusunoki I., Ottinger Ch. «J. Chem. Phys.», 1984, 80, № 5, 1872—1881 (англ.)

Излучение ионов NH⁺(ND⁺), образованных в результате столкновений N⁺+H₂(D₂) в диапазоне энергий 1—9 эВ (Ц-система), регистрировалась в спектральной области 3500—5000 Å. Показано, что наблюдаемое излучение связано с переходами $B^2\Delta \rightarrow X^2\Pi$ ионов NH⁺(ND⁺), для которых обнаружен ряд полос,

Следы

сб. 1984, 18, № 10

не наблюдавшихся ранее. Сопоставление с аналогичными реакциями, сопровождающимися хемилюминесценцией, показывает, что в данном случае достигается высокая степень возбуждения NH^+ (ND^+). В результате расчета наблюдаемого спектра определены структурные постоянные ионов-продуктов, а также врачательные и колебательные заселенности уровней. Исходное ${}^1\text{D}$ -метастабильное состояние N^+ идентифицировано с использованием найденного значения пороговой энергии реакции, тогда как конечные состояния типа $B^2\Delta$ ионов NH^+ (ND^+) — из анализа корреляционных диаграмм электронных состояний; даны возможные объяснения отсутствия состояний типа $A^2\Sigma^-$, наиболее близких к $B^2\Delta$.

Г. А. Вомпе

NH⁺

1984

21 Б4517. Спектроскопия и динамика хемилюминесцентных реакций $N^+(^1D) + H_2 \rightarrow NH^+(B^2\Delta) + H$ и $N^+(^1D) + D \rightarrow ND^+(B^2\Delta) + D$. Spectroscopy and dynamics of the chemiluminescent reactions $N^+(^1D) + H_2 \rightarrow NH^+(B^2\Delta) + H$ and $N^+(^1D) + D_2 \rightarrow ND^+(B^2\Delta) + D$. Кусипо-ки I., Оттингер Ч. «J. Chem. Phys.», 1984, 80, № 5, 1872—1881 (англ.)

Исследованы спектры Хл при $\lambda 350—500$ нм в р-ции $N^+ + H_2(D_2)$. Использован плазменный источник ионов N^+ при давл. $N_2 \sim 0,16$ Торр. Пучок ионов направлялся в столкновит. камеру, в к-рой давл. газа-мишени поддерживалось равным 10 или 20 мТорр, энергия столкновений $\sim 1—9$ эВ. В предположении, что источником Хл служат переходы $B^2\Delta \rightarrow X^2\Pi$ иона $NH^+(ND^+)$, идентифицированы ранее не наблюдавшиеся электронно-колебательные полосы и найдены спектроскопич. константы $NH^+(ND^+)$. Методом RKR рассчитаны потенциальные кривые термов B и X . Моделирование спектров Хл позволило

спектр, Si;



(1)

X. 1984, 19, N21.



NH⁺

определить относит. населенности колебат. и вращат. уровняй возбужденных состояний. Для $\text{NH}^+(B)$ $T_{\text{кол}} = 42\ 000^\circ \text{C}$, $T_{\text{вр}} = 7000^\circ \text{C}$, а для $\text{ND}^+(B)$ колебат. распределение инвертировано. Из анализа спектров Хл следует, что выход р-ции в состояние $\text{NH}^+(A^2\Sigma^-) < 20\%$ от выхода в $\text{NH}^+(B^2\Delta)$, хотя эти состояния принадлежат одной и той же электронной конфигурации и A расположено ниже B на 0,13 эВ. Л. Ю. Мельников

NH^+

1984

Power Deirdre, Brint
Paul, et al.

γ , ΔH_f ,
 E_i ;

J. Mol. Struct., 1984,
110, N1-2, Suppl. Theochem,
19, N1-2, 155-166.

(c.c.s. NH ; III)

NH^+

1985

Азатык B.B.,
Дүйкөзін P. Г. и сп.

Серкінпұр
Ресекен. 4 жаңғақалары,
1985, 26, № 6, 1287-1291.

(сүр. NCl^+ , Ⅲ)

NH^+

1985

№ 10 Б1171. Фотоионизация аминильного радикала.
Photoionization of the amidogen radical. Gibson S. T., Greene J. P., Berkowitz J. «J. Chem. Phys.», 1985, 83, № 9, 4319—4328 (англ.) Место хранения ГПНТБ СССР

Исследованы фотоионизац. масс-спектры N_2H_4 и NH_2 , получаемые при взаимодействии атомарного водорода с N_2H_4 . Приведены кривые относит. выхода фотоионов $N_2H_3^+$, $N_2H_2^+$, NH_2^+ , NH^+ как ф-ций длины волны возбуждающего излучения λ . В масс-спектрах наблюдалась также ионы $N_2H_5^+$, $N_2O_4^+$, N_2H^+ , N_2^+ , NH_3^+ . В кач-ве источника возбуждения ($\lambda=680—1160\text{ \AA}$) использованы многолинейчатый спектр молек. H_2 и континуум Гопфильда Не. Адиабатич. Пт ионизации NH_2 , $11,14 \pm 0,01$ эВ, оказался на 0,32 эВ ниже, чем по данным ФЭС. На кривых выхода фотоионизации NH_2 обнаруженные ридберговские

9, № 1171

43

X. 1987, 19, N 10

серии (автоионизация), сходящиеся к состоянию \tilde{A}^1A_1 иона ($12,445 \pm 0,002$ эВ). Из данных по пороговой энергии образования NH^+ рассчитаны (в ккал/моль): $\Delta H_{f\bullet}^0(\text{NH}^+)=396,3 \pm 0,3$; $\Delta H_{f\bullet}^0(\text{NH})=85,2 \pm 0,4$; $\Delta H_{f\bullet}^0(\text{NH}_2)=45,8 \pm 0,3$; $D_0(\text{H}_2\text{N}-\text{H})=106,7 \pm 0,3$; $D_0(\text{HN}-\text{H})=91,0 \pm 0,5$; $D_0(\text{N}-\text{H})=79,0 \pm 0,4$. Обсуждено происхождение малоинтенсивных пиков в спектре фотоионизации NH_2 в обл. $\lambda > 1075$ А.

Б. М. Ковба

ия,

NH⁺

Om. 23893

1985

Gibson S.T., Green J.P.,

(Δ_fH, Δ₀) Berkowitz J.,

J. Chem. Phys., 1985,
83, N9, 4319 - 4328.

NH^+

1985

Hale B.C., Perkins J.

lazes-
bos.
preyop.

Energy Res. Abstr. 1985,
10(24), Abstr. N° 51904.

(crys. Co^+ ; $\overset{\circ}{}$)

NH⁺

om. 23191

1986

12 Б1014. Неэмпирические расчеты дублетных состояний NH⁺. AB initio calculations of doublet states of NH⁺. Kusunoki Iсао, Yamashita Koichi, Mogokuma Keiji. «Chem. Phys. Lett.», 1986, 123, № 6, 533—536 (англ.)

В области межъядерных расстояний 1,5—20 ат. ед. рассчитаны энергии 8 низших дублетных состояний молек. иона NH⁺. Использованы базисы гауссовых функций (9s5p1d)/[4s2p1d] для N и (5s1p)/[3s1p] для H. Волновые ф-ции построены в приближении конфигурац. взаимодействия с учетом одно- и двукратных возбуждений по отношению к нескольким исходным конфигурациям. Полиномиальной аппроксимацией рассчитанных точек построены потенциальные кривые и определены спектроскопич. постоянные. Вычислены зависимости моментов переходов $X^2\Pi - A^2\Sigma^-$ и $X^2\Pi - B^2\Delta$ от межъядерного расстояния. Отмечено качеств. согласие ф-ций моментов переходов с эксперим. зависимостями.

А. В. Немухин

1986, 19, n/2

NH⁺

1986

№ 7 Д98. Неэмпирические расчеты дублетных состояний NH⁺. Ab initio calculations of doublet states of NH⁺. Kusunoki Isao, Yamashita Koichi, Mogokuma Keiji. «Chem. Phys. Lett.», 1986, 123, № 6, 533—536 (англ.)

Многосылочным методом конфигурац. взаимодействия, включавшим все конфигурации, одно- и двукратно возбужденные по отношению к ссылочным (за исключением возбуждений с σ_1 орбитали) с использованием двухэкспонентного базиса, дополненного поляризационными ф-циями, в области межъядерных расстояний от 1,5 до 20,0 бор выполнены расчеты 8 низколежащих дублетных состояний иона NH⁺. Для X²P—A²S⁻ и X²P—B²D рассчитаны моменты перехода, и для X²P, A²S⁻, B²D и C²S⁺ с помощью аппроксимации полученных кривых потенц. энергии полиномами 4-ой степени, найдены основные спектроскопич. постоянные. Отмечено хорошее согласие полученных результатов с эксперим. данными.

А. И. К.

с/р 1986, 18, № 7

NH⁺

om. 23191

1986

104: 118725j Ab initio calculations of doublet states of aminyl (NH⁺). Kusunoki, Isao; Yamashita, Koichi; Morokuma, Keiji (Res. Inst. Sci. Meas., Tohoku Univ., Sendai, Japan 980). *Chem. Phys. Lett.* 1986, 123(6), 533-6 (Eng). The 8 low-lying doublet states of the NH⁺ ion were investigated with an ab initio CI method including all single and double excitations from a multireference configuration space (MRSD CI). The spectroscopic consts. for the X² Π , A² Σ^- , B² Δ , and C² Σ^+ states and the transition moments for X² Π -A² Σ^- and X² Π -B² Δ were calcd. The results were compared with expts. and other calcns.

meop. pacien
all about me
COON.

C.A. 1986, 104, N 14.

NH⁺

1986

94 Л118. Сверхтонкая структура низколежащего вращательного перехода иона NH⁺. Observation of the lowest rotational transition of NH⁺ with resolved hyperfine structure. Verhoeve P., Ter Meulen J. J., Meerts W. Leo, Dymanus A. «Chem. Phys. Lett.», 1986, 132, 213—217 (англ.)

С использованием субмиллиметрового лазерного спектрометра разрешена СТС вращательного перехода $J=3/2 \leftarrow 1/2$ в основном состоянии ($X^2\Pi$, $v=0$) иона NH⁺. Определены константы СТС, которые хорошо совпадают с результатами неэмпирических расчетов.

М. А.

φ. 1987, 18, № 4

NH^+ 1986

Verhoeve P., Bekooy J.P.,
et al.

Proc. 9th Int. Conf. High
Resolution Infrared Spectr-
m. Liblice near Prague,
Sept. 8-12, 1986. Progr. Sess.
Abstr. Pap. Prague, s.a., 61.

(see OH^+ ; III)

1986

NH⁺

) 8 Б1244. Наблюдение низших вращательных переходов NH⁺ с разрешенной сверхтонкой структурой. Observation of the lowest rotational transition of NH⁺ with resolved hyperfine structure. Verhoeve P., Ter Meulen J. J., Meerts W. Leo, Dymanus A. «Chem. Phys. Lett.», 1986, 132, № 2, 213—217 (англ.)

М.Н.

С использованием субмиллиметрововолнового перестраиваемого лазерного спектрометра, работающего на принципе смешивания излучения лазера на HCN (891 и 964 ГГц) с перестраиваемым МВ-излучением клистронов (50—110 ГГц) измерены чисто вращат. спектры поглощения ионов NH⁺, образующихся в разряде в полом катоде, в обл. перехода 3/2—1/2 в основном состоянии X²P ($v=0$). Разрешено семь компонент СТС перехода ($I=3/2, d$)—($I=1/2, d$) в обл. 1019,2 ГГц и 5 компонент перехода ($I=3/2, c$)—($I=1,2, c$) в обл. 1012,5 ГГц. Выполнен анализ наблюдаемой структуры и рассчитаны след. параметры сверхтонкого расщепления для состояния X²P ($v=0$) иона NH⁺ (МГц): $abc_N = 301,9(4,5)$, $cba_N = 61,9(1,6)$, $d_N = 165,0(2,4)$, $eq_0Q = -9,6(6,5)$, $eq_2Q_N = -37,2(9,8)$, $abc_H = 142,8(6,4)$, $cba_H = -51,4(2,0)$, $d_H = 41,7(3,3)$. Полученные значения хорошо согласуются с данными неэмпирич. расчетов.

С. Б. Осин

X.1987, 19 № 8

NH^+

[Om. 25266] 1986

106; 40643a Observation of the lowest rotational transition of
aminiumyl (NH^+) with resolved hyperfine structure. Verhoeve,
P.; Ter Meulen, J. J.; Meerts, W. Leo; Dymanus, A. (Fys. Lab.,
Kathol. Univ., 6525 ED Nijmegen, Neth.). *Chem. Phys. Lett.*, 1986,
132(2), 213-17 (Eng). The rotational transition $J = 3/2 \leftrightarrow 11/2$ of
the $X^2\Pi$, $v = 0$ ground state of NH^+ was obsd. with resolved
hyperfine structure. Spectra were recorded using a sub-mm tunable
laser sideband spectrometer. Accurate hyperfine consts. were
obtained which showed agreement with ab initio calcd. consts.

Frankam
hepoxos,
NDCM. Cepix -
MOKKORO
racusenell

c.A.1987, 106, N6

NH⁺

(M. 27282)

1987

Farnell, Ogilvie G.F.,

ab initio
pacem
gyromagnetic
cosmo ext.

Chem. Phys. lett., 1987
137, N2, 191-192.

NH^+

Om. 27283

1987

ab initio
pacemnt
gyromagnetic
coemoduli

Yamashita K.,
Yabushita S., et al.,

Chem. Phys. lett.;
1987, 137, N2, 193-
194.

$NH_{(2)}^+$

Can. 28904 | 1987

Pople J. A.

$\frac{1}{f} H^o$, J. Phys. Chem.,
v. 91, n. 1, 1987, p. 155-162.

NH⁺

1987

, 106: 220145y Energy dependence, kinetic isotope effects, and thermochemistry of the nearly thermoneutral reactions atomic nitrogen ion(1+) + molecular hydrogen → aminylumyl + atomic hydrogen ($\text{N}^+(^3\text{P}) + \text{H}_2(\text{HD}, \text{D}_2) \rightarrow \text{NH}^+(\text{ND}^+) + \text{H}(\text{D})$).

Ervin, Kent M.; Armentrout, P. B. (Dep. Chem., Univ. California, Berkeley, CA 94720 USA). *J. Chem. Phys.* 1987, 86(5), 2659-73 (Eng). The reactions of $\text{N}^+(^3\text{P})$ ions with H_2 , HD , D_2 are examd. using guided ion beam tandem mass spectroscopy. Abs. reaction cross sections are measured from near thermal energies to 30 eV relative energy. The low energy cross section behavior is analyzed using empirical threshold models and phase space theory. The results are compared to other recent studies of the $\text{N}^+ + \text{H}_2$ system. The reaction endothermicity for $\text{N}^+(^3\text{P}) + \text{H}_2 \rightarrow \text{NH}^+ + \text{H}$, $\Delta H_{0^\circ}^\ddagger = 0.033 \pm 0.024$ eV (0.76 ± 0.55 kcal/mol), and the bond energy of NH^+ , $D_0^\circ (\text{N}-\text{H}^+) = 3.51 \pm 0.03$ eV (80.9 ± 0.6 kcal/mol), are derived from the results.

(20°)

C.A.1987, 106, N26

NH⁺

(M. 29229)

1988

(KCREME)

(P₀)

Amano T.

Phil. Trans. Roy. Soc.
London, 1988, A324,
N 1578, 163-178.

NH_2^+ (M 30152) 1988
Hamdan M.,
Mazumdar S. et al.

M. N. J. Phys. B. 1988. 21, N.Y.
c. 2571-2584.

(C₂H₂⁺; $\frac{1}{2}^+$)

NH^+

1988

108: 228702q Infrared spectroscopy of aminylumyl (NH^+): an analysis of the perturbation between the $X^2\Pi$ and a ${}^4\Sigma^-$ states. Kawaguchi, K.; Amano, T. (Herzberg Inst. Astrophys., Natl. Res. Counc., Ottawa, ON Can. K1A 0R6). *J. Chem. Phys.* 1988, 88(8), 4584-91 (Eng). The $v = 1-0$ vibration-rotation transitions in the $X^2\Pi$ and a ${}^4\Sigma^-$ states and those between the 2 electronic states were obsd. with a difference frequency laser as a radiation source. The two electronic states ($X^2\Pi$ and a ${}^4\Sigma^-$) lie close together and interact each other strongly through the spin-orbit coupling. A merged least-squares fit was carried out with the present IR transition wave nos., some of the previous optical term values, and the recent far-IR rotational transition frequencies to det. the spectroscopic parameters precisely. The equil. internuclear distance is 1.0692 ± 0.0002 and 1.0924 ± 0.0001 Å for the X and a states, resp. The A-type doubling transition frequencies were calcd. for several of the lowest J states with the mol. consts. obtained and the hyperfine coupling consts. detd. from the far-IR transitions.

lk Chetmp
 $X^2\Pi, a {}^4\Sigma$,
M.N.

C.A. 1988, 108, N26

NH⁺

0.11 29624

1988

19 Б1200. Инфракрасная спектроскопия NH⁺: анализ возмущения между состояниями $X^2\Pi$ и $a^4\Sigma^-$. Infrared spectroscopy of NH⁺: An analysis of the perturbation between the $X^2\Pi$ and $a^4\Sigma^-$ states. Kawaguchi K., Amano T. «J. Chem. Phys.», 1988, 88, № 8, 4584—4591 (англ.)

С использованием перестраиваемого на разностной частоте лазера в обл. частот 2470—3080 см⁻¹ с точностью около 0,002 см⁻¹ измерены колебательно-вращат. спектры $v=0\rightarrow 1$ электронных переходов ${}^2\Pi_{1/2}\rightarrow {}^2\Pi_{1/2}$, ${}^2\Pi_{3/2}\rightarrow {}^2\Pi_{3/2}$, ${}^4\Sigma^-\rightarrow {}^4\Sigma^-$, ${}^4\Sigma^-\rightarrow {}^2\Pi_{1/2}$, ${}^4\Sigma^-\rightarrow {}^2\Pi_{3/2}$ и ${}^2\Pi\rightarrow {}^4\Sigma^-$ иона NH⁺. Образец генерировался в разряде полого катода в смеси N₂, H₂, Не или NH₃, Не. Анализ полученных спектров выполнен с учетом эффектов центробежного искажения спин-спинового и спин-вращат. взаимодействий в состоянии ${}^4\Sigma$, сильного спин-орбитального взаимодействия между состояниями ${}^2\Pi$ и ${}^4\Sigma$ и эффекта центробежного искажения спин-орбита-

М.Л.

X. 1988, 19, N 19

тального взаимодействия между состояниями $^2\Pi$ и $^4\Sigma$. Значения молек. постоянных NH^+ в состояниях $X^2\Pi$ и $a^4\Sigma^-$ определены с существенно более высокой точностью, чем ранее использовавшиеся на основе эксперим. и расчетных данных. Вычислены термы энергии в состояниях $v=1$ и $v=0$ для $X^2\Pi$ и $a^4\Sigma^-$ и построена диаграмма энергетич. уровней. С. Н. Мурзин



NH⁺

07.29.624

19.88

10 Л158. ИК-спектроскопия NH⁺. Анализ возмущений между состояниями $X^2\Pi$ и $a^4\Sigma^-$. Infrared spectroscopy of NH⁺: an analysis of the perturbation between the $X^2\Pi$ and $a^4\Sigma^-$ states. Kawaguchi K., Amano T. «J. Chem. Phys.», 1988, 88, № 8, 4584—4591 (англ.).

С использованием ИК-лазера на разностной частоте исследованы колебательные переходы 1—0 в состояниях $X^2\Pi$ и $a^4\Sigma^-$ и электронный переход $a - X$ ионов NH⁺, которые создавали в тлеющем разряде в смеси N₂H₂He или NH₃He. Близко расположенные состояния $X^2\Pi$ и $a^4\Sigma^-$ сильно связаны за счет спин-орбитального взаимодействия. С привлечением литературных данных уточнены значения спектроскопич. постоянных для этих состояний NH⁺. Для равновесных межъядерных расстояний NH⁺ в состояниях X и a получены значения: $(1,0692 \pm 0,0002) \text{ \AA}$ и $(1,0924 \pm 0,0001) \text{ \AA}$. Определены константы сверхтонкого взаимодействия. Библ. 30.

)

В. С. Иванов

Ф 1988, 18, N 10

NH⁺

Он 32624

1989

7 Б1017. Взаимодействие между состояниями $X^2\Pi$ и $a^4\Sigma^-$ иона NH⁺. Perturbations between the $X^2\Pi$ and $a^4\Sigma^-$ states of the NH⁺ ion / Colin R. // J. Mol. Spectrosc.— 1989.— 136, № 2.— С. 387—401.— Англ.

На основании полученных ранее эксперим. данных (// Canad. J. Phys.— 1968.— 46.— 61) об электронно-колебательно-вращат. переходах $A^2\Sigma \rightarrow X^2\Sigma$, $B^2\Delta \rightarrow X^2\Pi$, $C^2\Sigma \rightarrow X^2\Pi$ молекул $^{14}\text{NH}^+$, $^{15}\text{NH}^+$ и $^{14}\text{ND}^+$ методом РКР рассчитаны потенциальные кривые для состояний $X^2\Pi$ и $a^4\Sigma^-$. Проанализировано взаимное возмущение этих состояний, вычислены для обоих состояний значения r_e , ω_e , $\omega_e x_e$, B_e , a_e , факторы Франка—Кондона (v' , $v''=0,1$), параметры спин-орбитального взаимодействия, а также электронный терм для состояния $a^4\Sigma^-$.

П. В. Ганелин

Х. 1990, № 7 $(\oplus) \otimes \text{N}D^+$

NH^+

(Om 32624)

1989

111: 86522s Perturbations between the $X^2\Pi$ and $a^4\Sigma^-$ states of the aminyliumyl (NH^+) ion. Colin, R. (Lab. Chim. Phys. Mol., Univ. Libre Bruxelles, Brussels, Belg.). *J. Mol. Spectrosc.* 1989, 136(2), 387-401 (Eng). On the basis of previously published optical data of C. and A. E. Douglas (1962) for 3 isotopes ($^{14}NH^+$, $^{15}NH^+$, and $^{14}ND^+$) of the NH^+ ion, a study of the perturbations occurring between the $X^2\Pi$ and $a^4\Sigma^-$ states was carried out using matrix diagonalization techniques. This makes it possible to derive for both states equil. rotational and vibrational consts., from which Rydberg-Klein-Rees potential energy functions, vibrational overlap integrals, electronic interaction parameters, and a pure electronic term value for the $a^4\Sigma^-$ state are deduced.

$X^2\Pi$ u $a^4\Sigma^-$
COOM., M·A·
 $a^4\Sigma^-$ COOM·



C.A. 1989, III, N10

NH^+

Оп. З2624

1989

2 Д112. Возмущения состояний $X^2\Pi$ и $a^4\Sigma^-$ иона NH^+ . Perturbations between the $X^2\Pi$ and $a^4\Sigma^-$ states of the NH^+ ion / Colin R. // J. Mol. Spectrosc.— 1989.— 136, № 2.— С. 387—401.— Англ.

На основании данных оптич. спектроскопии исследованы взаимодействия между ровибронными состояниями ионов $^{14}NH^+$, $^{15}NH^+$ и $^{14}ND^+$, соответствующими электронным термам $X^2\Pi$ и $a^4\Sigma^+$. Найдены параметры матричных элементов эффективного гамильтониана для четырех взаимодействующих вибронных состояний, позволяющие воспроизвести экспериментально наблюдаемые термы с точностью до $0,1 \text{ см}^{-1}$. Вычислены основные молекулярные постоянные, в том числе чисто электронное значение T_e для состояния $a^4\Sigma^-$. Построены потенциалы Ридберга — Клейна — Риса для электронных состояний и найдены значения факторов Франка — Кондона для переходов между колебательными уровнями v' , $v''=0, 1$.

А. В. Зайцевский

М.Н.

(7) 8

сф. 1990, № 2

ND^+

NH^+ 1989
Kotzian Manfred,
Rösch Notker, et al.

et. n. Chem. Phys. Lett. 1989.
160, N^o. C. 168-174.
(C₆₀ ● HF⁺; $\bar{\text{II}}$)

NH^+

1990

Baeck K.K., Lee Yoon Sup.

et. al.

J. Chem. Phys. 1990.

93, N 8. C. 5775-5782.

(cell. BH^+ ; III)

NH^+

(Om 34670)

1990

113: 123630q Electron-impact dissociation of ammonia: formation of aminiumyl (NH_2^+) ions in excited states. Mueller, U.; Schulz, G. (FB Exp. Phys., Univ. Saarlandes, D-6600 Saarbruecken, Fed. Rep. Ger.). *Chem. Phys. Lett.* 1990, 170(4), 401-5 (Eng). The emission spectrum following single-electron impact on NH_3 was investigated with the objective to search for emissions from excited NH_2^+ ions produced by single-step dissociative excitation/ionization of NH_3 . The NH_2^+ ($C_2\Sigma^+ - X^2\Pi$, 0-0) transition with an appearance potential of 23 ± 1.5 eV was identified and an apparent emission cross-section of $(7.0 \pm 2) \times 10^{-29} \text{ cm}^2$ at 100 eV incident electron energy was detd. for this transition.

$C_2\Sigma^+ - X^2\Pi$

④ $\otimes NH (g)$

C.A. 1990, 113, N 14

NH^+

1992

Reddy R.R, Rao T.V.R.,
et al.,

(D₀)

Astrophys. Space Sci. 1992,
189 (1), 29 - 38.

(All: NBO; (D₀); II)

1993

F: NH₂⁺

P: 3

9Б158. Теоретические вращательно-колебательные спектры NH[2]{+} в состояниях X{3}B[1], A{1}A[1] и B{1}B[1]. Theoretical rotational vibrational spectra of the X{3}B[1], A{1}A[1] and B{1}B[1] states of NH[2]{+} / Chambaud G., Gabriel W., Schmelz T., Rosmus P., Spielfiedel A., Feautrier N. // Theor. chim. acta. - 1993. - 87, N 1 - 2. - C. 5-17. - Англ.

X.1996, № 9

1993

F: NH₂+

P: 3

9Б158. Теоретические вращательно-колебательные спектры NH[2]{+} в состояниях X{3}B[1], A{1}A[1] и B{1}B[1]. Theoretical rotational vibrational spectra of the X{3}B[1], A{1}A[1] and B{1}B[1] states of NH[2]{+}. Chambaud G., Gabriel W., Schmelz T., Rosmus P., Spielsiedel A., Feautrier N // Theor. chim. acta. - 1993. - 87, N 1 - 2. - C. 5-17. - Англ.

Р.Х. №, 1996

1993

F: NH⁺²

P: 3

7Б166. Валентные электронные состояния дикатионов NH{2+} и PH{2+}.
Valence electronic states of NH{2+ }and PH{2+ }docations / Park J. K., Sun H.
S. // Int. J. Quantum Chem. - 1993. - 48, N 6. - C. 355-365. Англ.

Р.Ж.Х. № 7, 1996.

NH²⁺

1993

120: 6279 on Valence electronic states of the hydronitrogen(2+) and hydrophosphorus(2+) (NH^{2+} and PH^{2+}) dication. Park, Jong Keun; Sun, Hosung (Dep. Chem., Pusan Natl. Univ., Pusan, 609-735 S. Korea). *Int. J. Quantum Chem.* 1993, 48(6), 355-65 (Eng). The ab initio second-order effective valence-shell Hamiltonian that is based on the multireference many-body perturbation theory has been applied to det. the adiabatic potential energy curves for the valence states of NH^{2+} and PH^{2+} dication. For PH^{2+} , three low-lying quasi-bound states ($X^1\Sigma^+$, $a^3\Pi$, $A^1\Pi$) are found and their spectroscopic consts. are characterized. In NH^{2+} , no quasi-bound states are found. The potential energy curves for NH^{2+} are compared with those for PH^{2+} to understand the difference between these two valence isoelectronic cations.

Metform PAC
ZEM NO metform
spurioso, cum
null faceta. Oct.

(4) PH^{2+}



C. A. 1994, 120, N6

NH⁺

1996

7 6Б1138. Тонкая структура низших вибронных переходов в NH⁺. Fine structure of the lowest vibronic transitions of NH⁺ / Palmieri Paolo, Tarroni Riccardo, Amos Roger D. // J. Phys. Chem.— 1996 .— 100, № 17 .— С. 6958—6965 .— Англ. Место хранения ГПНТБ

С волновыми функциями многоконфигурац. метода ССП вычислены матричные элементы спин-орбитального и спин-спинового взаимодействий для катиона NH⁺. Адиабатич. потенциальные кривые низших электронных состояний рассчитаны методами широкомасштабного конфигурац. взаимодействия, и при добавлении спиновых вкладов построена система вибронных уровней энергии. Точность расчета энергий переходов оценивается в ± 2 см⁻¹.

А. В. Немухин

X. 1997, N6

1996

F: NH+

P: 3

6Б1138. Тонкая структура низших вибронных переходов в NH{+}. Fine structure of the lowest vibronic transitions of NH{+} / Palmieri Paolo, Tartoni Riccardo, Amos Roger D. // J. Phys. Chem. - 1996. - 100, N 17. - С. 6958-6965. - Англ.

Место хранения ГПНТБ С волновыми функциями многоконфигурац. метода ССП вычислены матричные элементы спин-орбитального и спин-спинового взаимодействий для катиона NH{+}. Адиабатич. потенциальные кривые низших электронных состояний рассчитаны методами широкомасштабного конфигурац. взаимодействия, и при добавлении спиновых вкладов построена система вибронных уровней энергии. Точность расчета энергий переходов оценивается в '+-' 2 см{-1}.

РМЖ 1997

NH⁺

1996

124: 245086q Fine Structure of the Lowest Vibronic Transitions of NH⁺. Palmieri, Paolo; Tarroni, Riccardo; Amos, Roger D. (Dipartimento di Chimica Fisica ed Inorganica, Universita di Bologna, 40136 Bologna, Italy). *J. Phys. Chem.* 1996, 100(17), 6958-65 (Eng). A theor. anal. of the fine structure of the lowest vibronic transitions of NH⁺ is performed by ab initio evaluation of all required spin-orbit and spin-spin interactions. The vibronic band system of this mol. is particularly complicated due to the presence of a high-spin electronic state, a⁴ Σ -, nearly degenerate to the ground X² Π level. A procedure recently described for the efficient evaluation of spin-orbit 2-electron integrals in Cartesian coordinates is extended to spin-spin interactions. The spin-spin dipolar and contact couplings are then evaluated by multireference CI (MRCI) techniques. All required effective spin-orbit and spin-spin matrix elements are evaluated using for the orbital description a complete active valence space SCF (CASSCF) treatment. The matrix elements were found sufficiently accurate, and all computed spin-vibronic transition energies are reproduced within ± 2 cm⁻¹. The procedure and techniques are believed to be useful for theor. analyses of high-resoln. spectral data of open shell mols.

МОЛекулы
которые
имеют
непарные

C. A. 1996, 124, n 18

1996

F: NH+

P: 3

14Б130. Неэмпирическое изучение [методом эффективного гамильтониана для валентной оболочки] NH{+}. Дипольные моменты переходов, вероятности переходов и излучательные времена жизни. Ab initio study on NH{+}: Transition dipole moments, transition probabilities, and radiative lifetimes / Seong Jeonghee, Park Jong Keun, Sun Hosung [International Journal of Quantum Chemistry] // Int. J. Quantum Chem. - 1996. - 57, N 1. - C. 79-87. - Англ.

РНСХ 1997

NH_4^{2+}

1998

Wang F.H. et al.,

ROMERS.

Op-me

observation

M. ROCM;

Ali. ROCM;

M.N.

THEOCHEM 1998, 453,
71-75

(ali. BH_4^{2+} ;  III)